ՀԱՅԱՍՏԱՆԻ ՀԱՆՐԱՊԵՏՈՒԹՅԱՆ ԳԻՏՈՒԹՅՈՒՆՆԵՐԻ ԱԶԳԱՅԻՆ ԱԿԱԴԵՄԻԱ L. Ա. ՕՐԲԵԼՈՒ ԱՆՎԱՆ ՖԻՋԻՈԼՈԳԻԱՅԻ ԻՆՍՏԻՏՈՒՏ

ՄԿՐՏՉՅԱՆ ԱՐՈՒՍՅԱԿ ՎԱՉԻԿԻ

ԱՌՆԵՏՆԵՐԻ ՄԻՈՄԵՏՐԻՈՒՄԻ ՏԱՐԲԵՐ ՇՐՋԱՆՆԵՐԻ ԻՆՔՆԱԲՈՒԽ ԷԼԵԿՏՐԱԿԱՆ ԱԿՏԻՎՈՒԹՅԱՆ ԿՈՈՐԴԻՆԱՑՄԱՆ ԱՌԱՆՁՆԱՀԱՏԿՈՒԹՅՈՒՆՆԵՐԸ

ՍԵՂՄԱԳԻՐ

Գ.00.09 - «Մարդու և կենդանիների ֆիզիոլոգիա» մասնագիտությամբ կենսաբանական գիտությունների թեկնածուի գիտական աստիճանի հայցման ատենախոսության

ԵՐԵՎԱՆ - 2025

НАЦИОНАЛЬНАЯ АКАДЕМИЯ НАУК РЕСПУБЛИКИ АРМЕНИЯ ИНСТИТУТ ФИЗИОЛОГИИ ИМЕНИ Л.А. ОРБЕЛИ

МКРТЧЯН АРУСЯК ВАЧИКОВНА

ОСОБЕННОСТИ КООРДИНАЦИИ СПОНТАННОЙ ЭЛЕКТРИЧЕСКОЙ АКТИВНОСТИ РАЗЛИЧНЫХ ОТДЕЛОВ МИОМЕТРИЯ У КРЫС

АВТОРЕФЕРАТ

диссертации на соискание ученой степени кандидата биологических наук по специальности 03.00.09 – «Физиология человека и животных»

Ատեխոսության թեման հաստատվել է ՀՀ ԳԱԱ Լ.Ա. Օրբելու անվան ֆիզիոլոգիայի ինստիտուտի գիտական խորհրդի նիստում։

Գիտական ղեկավար՝ կ.գ.թ. Նաիրա Գևորգի Հունանյան

Պաշտոնական ընդդիմախոսներ՝ կ.գ.դ., պրոֆ. Վաղինակ Հայկազի Սարգսյան

կ.գ.թ. Կարեն Վազգենի Սիմոնյան

Առաջատար կազմակերպություն՝ Հայաստանի ֆիզիկական կուլտուրայի և

սպորտի պետական ինստիտուտ

Ատենախոսության պաշտպանությունը կկայանա 2025թ. սեպտեմբերի 25-ին, ժամը 13⁰⁰-ին, ՀՀ ԳԱԱ Լ.Ա. Օրբելու անվան ֆիզիոլոգիայի ինստիտուտում, ֆիզիոլոգիայի 023 մասնագիտական խորհրդի նիստում (0028, ք. Երևան, Օրբելի եղբ. 22)։

Ատենախոսությանը կարելի է ծանոթանալ ՀՀ ԳԱԱ Լ.Ա. Օրբելու անվան ֆիզիոլոգիայի ինստիտուտի գրադարանում և <u>www.physiol.sci.am</u> կայքում։

Ատենախոսության սեղմագիրն առաքվել է 2025 թ. օգոստոսի 22–ին։

023 մասնագիտական խորհրդի գիտական քարտուղար՝ կենսաբանական գիտությունների թեկնածու *Ավեա* Մ.Է. Թադևոսյան

Тема диссертации утверждена на заседании ученого совета Института физиологии им. Л.А. Орбели НАН РА.

Научный руководитель: к.б.н. Наира Геворговна Унанян

Официальные оппоненты: д.б.н., проф. Вагинак Айказович Саргсян

к.б.н. Карен Вазгенович Симонян

Ведущая организация: Государственный институт физической

культуры и спорта Армении

Защита диссертации состоится 25 сентября 2025г. в 13^{00} ч. на заседании специализированного совета 023 по физиологии, в Институте физиологии им. Л.А. Орбели НАН РА (0028, Ереван, ул. бр. Орбели, 22).

С диссертацией можно ознакомиться в библиотеке Института физиологии им. акад. Л.А.Орбели НАН РА и на сайте <u>www.physiol.sci.am.</u>

Автореферат диссертации разослан 22 августа 2025 г.

Ученый секретарь специализированного совета 023, кандидат биологических наук

И Н.Э. Татевосян

ԱՇԽԱՏԱՆՔԻ ԸՆԴՀԱՆՈՒՐ ԲՆՈՒԹԱԳԻՐԸ

Հետազոտության արդիականությունը։ Հարթ մկանների ֆիզիոլոգիայի առավել արդիական խնդիրներից են օրգանիցմի ֆունկցիոնալ վիճակը որոշող ինքնաբուխ էնդոգեն ռիթմերի հետացոտությունները։ Հարթ մկանների բազմացանության մեջ արգանդը լուրահատուկ տեղ է զբաղեցնում ոչ միայն իր հատուկ գործառույթի պատճառով, այլև կառուցվածքային առանձնահատկություններով, ինչպես նաև միջավայրի զանացան գործոններին՝ մյուս օրգանների համեմատ, յուրահատուկ արձագանքով (Hafen B.B., Burns B., 2023)։ Հարթ մկանային իյուսվածքին բնորոշ է ինքնաբուխ էլեկտրական ակտիվության առաջացումը, որն իր հերթին ապահովում է նրա ֆունկցիոնալ նշանակությունը՝ պերիստայտիկ գործունեությունը (Garfield R.E., Maner W.L., 2007)։ Արագ էլեկտրական ակտիվությունը պարբերաբար առաջացող աևտիվության ըռնևումներ են. սաայևային ոոոնը. h տաոբերություն դանդաղալիքային տատանումների, գրանցվում են ինքնաբուխ ակտիվություն ունեցող բջիջներից (Rabotti C., Mischi M., 2015)։ Վերարտադրողական օրգանի գործառույթների իրականազման համար անհրաժեշտ է կծկողական գործընթացի խիստ կարգավորում։ Կծկողականության առաջազման ուսումնասիրությունը սերտ կապված է արգանդամկանի տարբեր շրջաններում պելսմեկերների տեղակալման htm (Aguilar H.N., Mitchell B.F., 2010):

Միոմետրիումի բռնկումանման ինքնաբուխ ակտիվությունը նկատվում ռիթմածին շրջաններում, որոնք տեղակալված են արգանդափողերի օվարիալ, լոկուսներում nι արգանդի մարմնում։ զերվիկալ Վերը հիշատակված արգանդի մարմնի արգանդափողերի nι լուրաքանչյուր ռիթմածին բնութագրվում է միոգենությամբ և ինքնավարությամբ, միաժամանակ այն պետք է ալլ հարակից ռիթմածին փոխկապակցված լինի իրեն շրջանների գործունեությամբ ինտեգրատիվ վերարտադրողական գործընթացների շրջանների էլեկտրաֆիզիոլոգիական իրականացման համար։ Ռիթմածին առանձնահատկությունների ու նրանց փոխազդեցության ուսումնասիրությունը բացահայտել այն մեխանիցմները, որոնք ապահովում կոորդինացված գործունեությունը՝ ուղղորդված կծկողականության առաջացման hամար (McHale N. et al., 2006; Lutton E.J. et al., 2018; Wray S., Taggart M.J. 2024):

Օքսիտոցինը (OXT) հորմոն է, որն ունի կենտրոնական ու ծայրամասային ազդեցություն և կարևոր դերակատարում ունի ծննդաբերության և լակտացիայի մեխանիզմներում (Szukiewicz O.D. et al., 2015)։ Այս հորմոնն ազդում է թիրախ բջիջների վրա՝ իր ընկալիչների (OXTR) միջոցով, որոնց քանակն արգանդում ավելանում է ծննդաբերության զարգացմանը զուգընթաց (Arrowsmith S., Wray S., 2014; Walter M.H. et al., 2021)։ Օքսիտոցինի ազդեցության պայմաններում նրա ակտիվացած ընկալիչները հանգեցնում են միոմետրիումի կծկումների ուժեղացմանը (Vrachnis N. et al., 2012; Fox S.I., 2016)։ Արգանդի հարթ մկանային հյուսվածքի վրա օքսիտոցինի ազդեցությունն իրականանում է երեք առանձին եղանակներով՝ 1) թաղանթի ապաբևեռացում, 2) գործողության պոտենցիալների (ԳՊ) հաճախության ավելացում, և որպես հետևանք՝ կծկումների հաճախության աճ, 3) փուլային կծկումների տևողության և ամպլիտուդի աճ (Ferreira J.J. et al., 2019)։ Այս հորմոնի ազդեցության վերլուծությունը կօգնի ուսումնասիրել ներկայիս արդիական և չլուծված խնդիրները, որոնք վերաբերում են ինչպես միոմետրիումի առանձին

շրջանների, այնպես էլ ամբողջական վերարտադրողական օրգանի ինքնաբուխ էլեկտրական ակտիվության առանձնահատկություններին՝ ինտեգրատիվ գործունեության պայմաններում։

Հետազոտության նպատակը և խնդիրները։ Աշխատանքի նպատակն է՝ բացահայտել ոչ հղի առնետների արգանդափողերի և արգանդի մարմնի ռիթմածին շրջանների պեյսմեկերային ակտիվությունների փոխազդեցության օրինաչափությունները, որոնք ապահովում են վերարտադրողական օրգանի համակարգված գործունեությունը՝ ուղղորդված կծկողականության առաջացման համար։

Ներկայացված նպատակին միտված՝ առաջադրվել են հետևյալ հիմնական խնդիրները.

- 1. Էլեկտրաֆիզիոլոգիական և մորֆոհիստոքիմիական համալիր հետազոտությունների միջոցով իրականացնել ոչ հղի առնետների արգանդի մարմնի և արգանդափողերի ռիթմածին շրջանների ինքնաբուխ էլեկտրական ակտիվության առանձնահատկությունների վերլուծություն։
- 2. Ուսումնասիրել առնետների արգանդափողերի ծայրային շրջանների պեյսմեկերային ակտիվությունների փոխազդեցությունը՝ համեմատելով օվարիալ շրջանի պեյսմեկերային ԳՊ-ների ցուցանիշները ցերվիկալ շրջանի հետ թե՛ նորմայում, թե՛ նրանցից յուրաքանչյուրի մեկուսացման պայմաններում։
- 3. Հետազոտել առնետների երկու արգանափողերի օվարիալ շրջանների էլեկտրական ակտիվությունների փոխազդեցությունը՝ համեմատելով ձախ փողի պեյսմեկերային ԳՊ-ների ցուցանիշներն աջի հետ թե՛ նորմայում, թե՛ նրանցից յուրաքանչյուրի հատման պայմաններում։
- 4. Բացահայտել արգանդի մարմնի ակտիվության փոփոխությունները՝ աջ և ձախ արգանդափողերի հաջորդական մեկուսացման պայմաններում։
- 5. Էլեկտրաֆիզիոլոգիական և մորֆոֆունկցիոնալ հետազոտությունների միջոցով ուսումնասիրել կծկողական ակտիվության կարևորագույն կարգավորիչներից մեկի՝ օքսիտոցինի ազդեցությամբ, առնետի արգանդամկանում ինտեգրատիվ ակտիվության առանձնահատկությունները։

Աշխատանքի գիտական նորույթը։

Էլեկտրական ակտիվության միաժամանակյա գրանցմամբ առաջին անգամ ուսումնասիրվել է ոչ հղի առնետների միոմետրիումի տարբեր շրջանների ինտեգրատիվ պելսմեկերային ակտիվության առանձնահատկությունները։

Ջույգ արգանդափողերի ռիթմածին շրջանների ակտիվության ցուցանիշների համեմատական վերլուծության արդյունքում բացահայտվել են էական տարբերություններ դրանց էլեկտրաֆիզիոլոգիական հատկություններում։ Թեպետ փողերից յուրաքանչյուրն իրականացնում է միևնույն ֆիզիոլոգիական գործառույթը, այդուհանդերձ ձախ փողի օվարիալ շրջանի էլեկտրական ակտիվության հիմնական ցուցանիշները տարբերվում են և՛ միևնույն փողի ցերվիկալ շրջանի, և՛ աջ փողի համանուն երկու ակտիվ շրջանների բնութագրիչներից։

Բացահայտվել է, որ ձախ արգանդափողի բարձր էլեկտրաֆիզիոլոգիական ակտիվությունը նպաստում է վերջինիս՝ արգանդի մարմնի հետ առավել արտահայտված ֆունկցիոնալ կապի առկալությանը։

Թեպետ ձախ փողը բնութագրվում է ավտոմատիզմի առավել բարձր ցուցանիշներով՝ աջ փողի համեմատ, այնուամենայնիվ, աշխատանքում ստացված արդյունքները վկայում են ամբողջ օրգանի գործառույթի իրականացման մեջ վերջինիս դերի մասին։

Հայտնաբերվել է, որ մի փողի ֆունկցիոնալ մեկուսացման պայմաններում պահպանվում է մյուսի և արգանդի մարմնի փոխազդեցությունը, ինչն էլ նպաստում է հիմնական վերարտադրողական գործառույթի իրականացմանը։

Էլեկտրաֆիզիոլոգիական և հիստոմորֆոլոգիական հետազոտությունների շնորհիվ ինքնավար էլեկտրական ակտիվությունների վրա ստացվել են օքսիտոցինի ազդեցության նոր տվյալներ. այս հորմոնի ներմուծումը կտրուկ խթանում է աջ արգանդափողի օվարիալ շրջանի ռիթմածնությունը։

Աշխատանքի գիտագործնական **նշանակությունը։** Աշխատանքը մկանների ինքնաբուխ էլեկտրական ակտիվության ուսումնասիրման արդիական խնդրի հիմնարար հետագոտություն է, որն ընկած է վերարտադրողական օրգանների գործառույթի կատարման հիմքում։ Հետազոտության արդյունքները, որոնք վերաբերում են միմյանցից անկախ, ինքնավար պելսմեկերային շրջանների կոորդինացման մեխանիցմների հայտնաբերմանը, կարևոր են արգանդի հիմնական գործառույթի իրականացումն ապահովող գործընթացների ուսումնասիոման համաո։ Ստազված տվյայները հիմքային են հետագա մեխանիզմների հետացոտության համար, որոնք հանգեցնում են հարթ մկանների գործառույթի խանգարումների և պատճառ են ինչպես վերարտադրողական օրգանների առանձին շրջաններում, այնպես էլ ամբողջական արգանդում տարբեր ախտաբանական գործընթացների զարգացման համար։ Այս հետացոտության արդյունքները կարևոր նշանակություն ունեն կլինիկական բժշկության համար. արգանդափողերի ֆունկզիայի խանգարման հետևանքով ախտաբանական վիճակների բնույթի բացահայտումը նպաստում է թերապևտիկ միջամտությունների նպատակալին պլանավորման nι համապատասխան դեղամիջոցների ընտրության գործընթացին։

Ատենախոսական աշխատանքի նախնական փորձաքննություն և հրապարակումներ։ Աշխատանքի հիմնական արդյունքները ներկայացվել են տարբեր միջազգային գիտաժողովներում։ Ատենախոսության թեմայով հրապարակվել են 13 հոդված և 5 թեզիս։

Ատենախոսության ծավալը և կառուցվածքը։ Ատենախոսությունը բաղկացած է 105 էջից և ներառում է հապավումների ցանկ, ներածություն, գրականություն, հետազոտության նյութերի և մեթոդների նկարագրություն, հետազոտության արդյունքներ և դրանց քննարկում, եզրակացություններ, ինչպես նաև գրականության ցանկ, որում ընդգրկված է 213 հղում։ Աշխատանքը ներառում է հետազոտության արդյունքները ներկայացնող 26 նկար և 5 աղյուսակ։

ՀԵՏԱԶՈՏՈՒԹԱՆ ՆՅՈՒԹԸ ԵՎ ՄԵԹՈԴՆԵՐԸ

Հետազոտությունները կատարվել են 200-250 գ քաշով, 195 ոչ հղի, սեռահասուն էգ առնետների վրա: Оքսիտոցինը (5 МЕ, Գեդեոն Ռիխտեր) ներարկվել է ներերակային՝ 0,2-0,3մլ (կախված կենդանու քաշիզ), 10¹ մկգ/կգ չափաբաժնով։

Էլեկտրաֆիզիոլոգիական ուսումնասիրություններ։ Կենդանիներն անզգայացվել են նեմբուտալով (40-45 մգ/կգ) ներորովայնային in situ պայմաններում։ Բացվել է որովայնի խոռոչը, մերկացվել է արգանդի մարմինը՝ երկու կողմերում տեղակայված արգանդափողերով։ Արգանդը նյարդահատվել է plexus hypogastricus, uterinus, uterovaginalis նյարդերի արմատները հատելու ճանապարհով։

Էլեկտրական ակտիվության միաժամանակյա գրանցումն իրականացվել է արգանդափողերի օվարիալ, ցերվիկալ շրջաններից և արգանդի մարմնից։ Ուսումնասիրվող շրջանների ինքնաբուխ էլեկտրական ակտիվությունը գրանցվել է 0,5 մմ տրամագծով երկբևեռ արծաթե էլեկտրոդներով, որոնց միջև հեռավորությունը կազմել է 3 մմ, իսկ մկանային հյուսվածքի դիմադրությունը՝ 100–120 կՕհմ։

Ինքնաբուխ էլեկտրական ակտիվությունը գրանցվել է 8-ալիքային սարքի վրա, որը մշակվել է << ԳԱԱ Լ.Ա. Оրբելու անվան ֆիզիոլոգիայի ինստիտուտում՝ հարթ մկանների էլեկտրական ակտիվությունը գնահատելու համար (Саркисян Р.Ш. и соавт., 2014)։ Ազդանշանների գրանցումն ապահովող ծրագիրը մշակվել է National Instruments Lab View Biomedical Toolkit -ի կիրառմամբ։

Ռիթմածին շրջանների էլեկտրական ակտիվության գրանցումները կատարվել են նորմայում, կտրվածքներից հետո, ինչպես նաև օքսիտոցինի ազդեցության պայմաններում։

Ռիթմածին շրջանների միջև կապի բացառումն իրականացվել է արգանդափողի՝ համապատասխան գոտում հատման միջոցով։ Հյուսվածքային ամբողջականության խախտումից հետո ակտիվության կայունացում դիտվել է 5-10 րոպե անց, որից հետ 15 րոպեների ընթացքում գրանցում է իրականացվել։

Օքսիտոցինի ազդեցությամբ գրանցումները կատարվել են ներարկումից անմիջապես հետո՝ 20 րոպեների ընթացքում։

Իրականացվել է ինքնաբուխ գործողության պոտենցիալների հետևյալ ցուցանիշների վերլուծությունը՝ ամպլիտուդ (A), դեպի գագաթնակետ աճի միջին արագություն (V), դեպի գագաթնակետ աճի տևողություն (T՝ ԳՊ-ի ամպլիտուդի առավելագույն արժեքին հասնելու տևողությունը), լայնքի կես (t՝ ԳՊ-ի գագաթի ձևավորման տևողությունը, որը համապատասխանում է դրա ամպլիտուդի վերին կեսին), գործողության պոտենցիալի ռիթմածնության հաճախություն (F), ակտիվ վիճակի տևողություն (D):

Գրանցված տվյալների հետագա վիճակագրական վերլուծությունն իրականացվել է Origin-8.5 և Sigma Plot 11.0 ծրագրային փաթեթների միջոցով։ Ստացված տվյալների հավաստիության գնահատումն իրականացվել է Ստյուդենտի t-չափանիշի համաձայն։

Մորֆոհիստոքիմիական ուսումնասիրություններ։ Առնետների արգանդափողերի մորֆոֆունկցիոնալ վիճակն ուսումնասիրելու համար օգտագործվել է Գոմորի մեթոդի հիման վրա մշակված Са²⁺ կախյալ թթվային ֆոսֆատազի ակտիվության հայտնաբերման հիստոքիմիական մեթոդը (Меликсетян И.Б., 2007)։

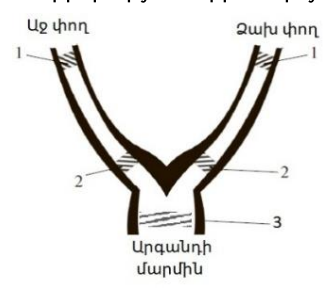
Այս մեթոդաբանական մոտեցումը հիմնված է ներբջջային ֆոսֆոր պարունակող միացությունների հայտնաբերման վրա, որոնք առանցքային դեր են կատարում կենսական համակարգերի պահպանմանն ու ինքնավերարտադրությանն ուղղված էներգետիկ փոխանակության գործընթացներում։

Ինտակտ կենդանիների էֆթանացիան իրականացվել է նեմբուտալով (100 մգ/կգ, ներորովայնային)։ Օքսիտոցին ստացող փորձարարական կենդանիները սկզբում անզգայազվել են (նեմբուտալ, 40-45 մգ/կգ, ներորովայնային), որին հաջորդել է հորմոնի ներարկումը, 5 րոպե անց կենդանիները ստացել են լրացուցիչ նեմբուտալ՝ էֆթանագիայի նպատակով։ Արգանդափողերն ու արգանդի մարմինը հեռացվել են։ Նմուշները ֆիքսվել են չեզոք ֆորմալդեհիդի 5% լուծուլթում, 48 ժամ, +4 °C ջերմաստիճանի պայմաններում։ Cryostat Microtome YD-2235 սառեցնող միկրոտոմի օգնությամբ (linhua YIDI Medical Appliance CO., LTD, China) ստացվել են առնետի արգանդի ժապավենաձև 50-60 մկմ հաստությամբ կտրվածքներ՝ մեջ, մշակման ֆրոնտաւ հարթության որոնք հետագա պահանջներին համապատասխան տեղափոխվել են ինկուբացիոն խառնուրդի մեջ։ Ստացված պատրաստուկների մանրադիտումն ու վերյուծությունն իրականացվել է OPTON (West Germany) լուսային մանրադիտակով, մանրայուսանկարներն արվել են AmScope MU800 լուսանկարչական սարքով։

Կենդանիների հետ բոլոր աշխատանքները կատարվել են համաձայն «Փորձարարական կենդանիների պաշտպանության եվրոպական կոնվենցիայի» կանոնների (2010/63/ԵՄ հրահանգ)։

ՀԵՏԱԶՈՏՈՒԹՅԱՆ ԱՐԴՅՈՒՆՔՆԵՐԸ ԵՎ ԴՐԱՆՑ ՔՆՆԱՐԿՈՒՄԸ

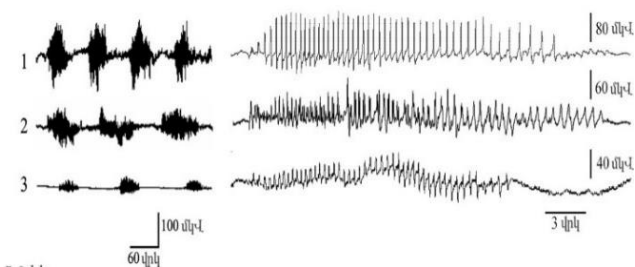
Առնետների միոմետրիումի ռիթմավար շրջանների ինքնաբուխ էլեկտրական **ակտիվության բնութագրերի իդենտիֆիկազումը։** Ոչ հղի առնետների ինքնաբուխ էլեկտրական ակտիվությունն էլեկտրական պարպումներ են, որոնք գրանզվում են ինչպես արգանդի մարմնում, ալնպես էլ արգանդափողերի օվարիալ և ցերվիկալ վերջավորություններում (Buhimschi C.S. et al., 2000; Maul H. et al., 2003)։ Միոմետրիալ իլուսվածքի պելսմեկերային ակտիվության առաջազման տեղակալումից և պայմաններից կախված՝ հնարավոր են նրա գենեցի տարբեր տեսակներ։ Հետևաբար, չի կարելի բացառել վերջինիս ռիթմավար շրջաններում ինքնավար ինքնաբուխ ակտիվության ընութագրերի որոշակի տարբերությունների առկայությունը։



Նկ. 1. Արգանդի և արգանդափողերի սխեմասրիկ պատկերը։ 1, 2, 3 թվերով նշված են համապատասխան գրանցման շրջանները՝ արգանդափողերի օվարիալ, ցերվիկալ շրջաններ և արգանդի մարմին։

Էլեկտրական ակտիվության միաժամանակյա գրանցումը հնարավորություն է տալիս ստանալ գործողության պոտենցիալների բռնկումները միոմետրիումի երեք ինքնավար ռիթմածին շրջաններից, որոնք ներկայազված են նկ. 1-ում։

Նկ. 2-ի ձախ կողմում ներկայացված է տիպիկ փորձերից մեկի գրանցումը, որը միոմետրիումի 3 ռիթմածին շրջանների միաժամանակյա գրանցման պայմաններում դիտվող պարբերաբար և ասինխրոն առաջացող սպայկային ակտիվության պատկերն է (նկ. 1, շրջաններ 1-3)։ Թեպետ վերը նշված շրջանների ակտիվության բռնկումներն առաջանում են հիմնականում ոչ միաժամանակ, այնուամենայնիվ, չի կարելի բացառել նրանց համատեղ աշխատանքը ժամանակի որոշակի հատվածում։ Նկ. 2-ի աջ կողմում ներկայացված ակտիվության բռնկումներն իրար հաջորդող սպայկային պոտենցիալներ են, որոնց հաճախություններն աստիճանաբար նվազում են և, ի վերջո, ամբողջությամբ մարում։



Նկ. 2. Միոմեպրիումի դարբեր շրջանների ինքնաբուխ էլեկտրական ակտիվությունը նորմայում։ 1, 2, 3 թվերը համապատասխանում են նկ. 1-ում ներկայացված շրջաններին։

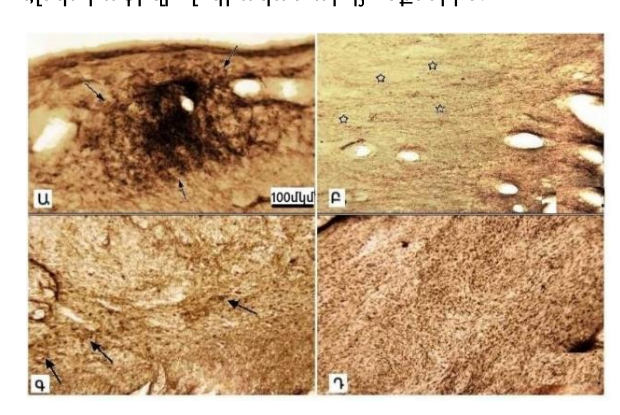
Աղյուսակում ներկայացված արդյունքների համաձայն, արգանդափողերի օվարիալ շրջանները բնութագրվում են սպայկերի ամպլիտուդի և պիկի աճի միջին արագության բարձր արժեքներով, որոնք գերազանցում են ստորև տեղակայված արգանդափողերի ցերվիկալ շրջաններից և արգանդի մարմնից գրանցվող արժեքներին։ Ընդ որում, ակտիվության հիմնական բնութագրիչների ամենամեծ արժեքները գրանցվել են ձախ արգանդափողի օվարիալ շրջանից։ Արգանդափողերի ցերվիկալ շրջանները և արգանդի մարմինը բնութագրվում են սպայկային ակտիվության ցուցանիշների նման արժեքներով։

ԱՂՅՈՒՍԱԿ Ռիթմածին շրջանների ԳՊ-ների ակտիվության ցուցանիշները նորմայում (M±SE)

Գրանցման շրջաններ, n =10		Սպայկերի ամպլիտոդ (A), մկՎ	Պիկի աճի միջին արագու- թյուն (V), մկՎ/վրկ	Պիկի աճի տևողու- թյուն (T/2), վրկ	Լայնքի կես (t), վրկ	Սպայկերի գեներացման հաճախություն (F), Հց	Բռնկումային ակտիվության տևողությունը 1 րոպեում (D), ր
Փողի օվարիալ շրջան (1)	շախ	94.54±3.92	1121.10±1.10	0.08±0.0	0.06±0.0	1.28±0.09	0.64±0.01
	Uջ	67.07±0.28	767.68±6.65	0.06±0.0	0.07±0.0	1.23±0.07	0.54±0.03
Փողի ցերվիկալ շրջան (2)	շախ	55.53±0.84	621.77±2.20	0.08±0.0	0.06±0.0	1.18±0.07	0.54±0.02
	Uջ	56.61±0.23	620.77±0.63	0.07±0.0	0.06±0.0	1.13±0.08	0.53±0.03
Արգանդի մարմին(3)		53.0±3.68	595.53± 3.5	0.07±0.0	0.06±0.0	1.23±0.08	0.52±0.04

Մորֆոիիստոքիմիական տվյալների վերլուծությունը ցույց է տվել, որ նորմայում արգանդափողի օվարիալ շրջանի երկայնակի կտրվածքներում ի հայտ են եկել կլոր կամ օվալ բջիջներ՝ Ca²+-կախյալ թթու ֆոսֆատազի բարձր ակտիվությամբ։ Հաճախ այդ բջիջները հավաքվում են խմբերով՝ տեղակայման վայրին տալով մուգ գունավորում (նկ. 3U)։ Նույնպիսի բջիջներ հայտնաբերվել են նաև փողի ցերվիկալ

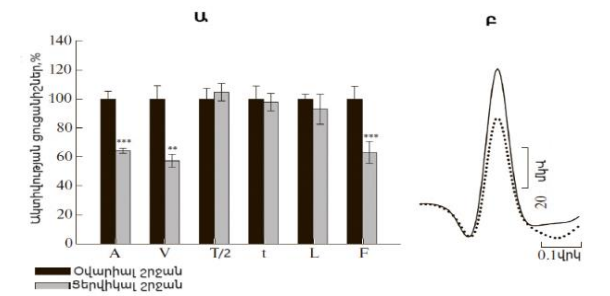
շրջանում (նկ. 3Գ) և արգանդի մարմնում (նկ. 3Դ)։ Ի տարբերություն օվարիալ շրջանում նկատվում է նրանց տեղակալման ցերվիկալ օջախայնություն, մինչդեռ արգանդի մարմնում նրանք համաչափ են տեղակայված։ Արգանդափողի միջին շրջանում այս բջիջները չեն հայտնաբերվում (նկ. 3Ք)։ Վերոհիշյալ բջիջներից տարբերվելով՝ տիպիկ միոգեն տարրերը գրեթե չեն արտահայտվում և դրանց ֆերմենտատիվ ակտիվությունը նշանակալի ցածր է։ Ալսպիսով, մեր կողմից իրականացված հիստոքիմիական ուսումնասիրությունների արդյունքները հաստատեցին հետազոտվող շրջանների «ֆունկցիոնալ վիճակների» տարբերությունները, ինչը համահունչ F վերը ներկայազված էլեկտրաֆիզիոլոգիական արդյունքներին։



Նկ․3. Առնետի արգանդափողերի տարբեր շրջանների և արգանդի մարմնի երկայնական կտրվածքների մանրալուսանկարները՝ U) օվարիալ շրջան, P) փողի միջին շրջան, G) փողի ցերվիկալ շրջան, Դ) արգանդի մարմին։ Սև սլաքներով նշված ֆոսֆափազային բարձր ակտիվությամբ բջիջների կուտակումները, աստղանիշեֆունկցիոնալ բջիջներից զուրկ միոմեփրիալ շրջանը։ Խոշորացում՝ 100 (Ա-

Ստացված տվյալները փաստում են օվարիալ շրջանի ակտիվության յուրահատուկ բնույթի մասին։ Այս և ստորև տեղակայված միոմետրիումի ռիթմածին շրջանների պեյսմեկերներն ապահովում են ուսումնասիրվող վերարտադրողական օրգանի բազմաֆունկցիոնալ առանձնահատկությունները և նրա ֆունկցիայի էվոլյուցիոն զարգացման արդյունք են։ Հայտնաբերված բջիջների բնույթը հաստատելու համար անհրաժեշտ է կիրառել լրացուցիչ իմունոհիստոքիմիական մարկերներ։

Առնետների արգանդափողերի էլեկտրաֆիզիոլոգիական հատկությունների համեմատական վերլուծությունը։ Ֆալոպյան փողերը, լինելով զույգ խոռոչավոր կառուցվածքներ, ֆիզիոլոգիապես նման են, սակայն նրանց կարող է բնորոշ լինել որոշ ասիմետրիա՝ պայմանավորված վերարտադրողական համակարգի վիճակով,

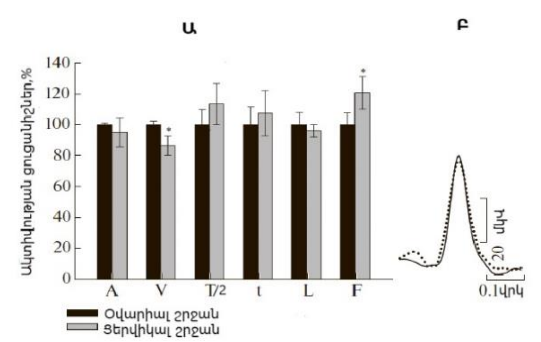


հորմոնալ ֆոնով և այլ գործոններով։

Ուսումնասիրված շրջանների ԳՊ-ի ցուցանիշները վկայում են որոշ տարբերությունների առկայության մասին։

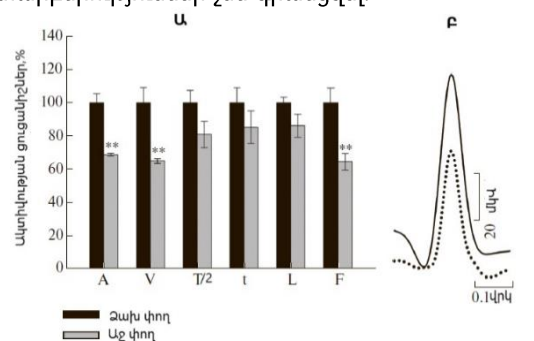
Նկ. 4. Ա) Ձախ փողի ցերվիկալ շրջանի գործողության պուրենցիալների ցուցանիշների տոկոսային հարաբերությունն օվարիալ շրջանի նկատմամբ (100%), Բ) օվարիալ (անընդհատ գիծ) և ցերվիկալ (կետագիծ) շրջանների եզակի ԳՊ-ների միջինացված ուրվագծերի վերադրումը, n = 18: <ավաս-տիություն՝ **P<0,01 և ***P<0,001:

Ձախ արգանդափողի օվարիալ շրջանի գործողության պոտենցիալների վերլուծությունը նույն փողի ցերվիկալ շրջանի հետ համեմատած՝ (նկ. 4) ցույց է տվել հետևյալ ցուցանիշների զգալի տարբերություն՝ ամպլիտուդի 35,5% (p $\leq 0,001$), գագաթնակետ աճի միջին արագության 42,5% (p $\leq 0,01$), բռնկումների ռիթմածնության հաճախության 36,7% (p $\leq 0,001$)։ Իսկ այնպիսի ցուցանիշներում, ինչպիսիք են գագաթնակետ աճի ժամանակը, լայնքի կեսը, բռնկման տևողությունը, հավաստի տարբերություններ չեն նկատվել։



Նկ. 5. U) Աջ ıhnnh ցերվիկալ շրջանի գործողության պուրենցիալցուցանիշների փոկոսային հարաբերությունն օվարիալ շրջանի նկաւրմամբ (100%), P) օվարիալ (անրնդիատ gþð) u ցերվիկայ (կետագիծ) շրջանների եզակի ԳՊների միջինացված ուրվագծերի վերադրումը, n=18: <uujuuտիություն՝ *P<0,05:

Աջ արգանդափողի նույն շրջանների համար կատարված վերլուծությունը ցույց է տվել (նկ. 5), որ փողի ցերվիկալ շրջանում՝ օվարիալ շրջանի հետ համեմատած, գագաթնակետ աճի միջին արագությունն է վիճակագրորեն հավաստի՝ 13,5% - ով նվազում ($p \le 0,05$)։ Իսկ բռնկումների հաճախությունը ցերվիկալ շրջանում 20% -ով բարձր է՝ օվարիալի համեմատ ($p \le 0,05$)։ Մնացած ցուցանիշների առումով հավաստի տարբերություններ չեն գրանցվել։

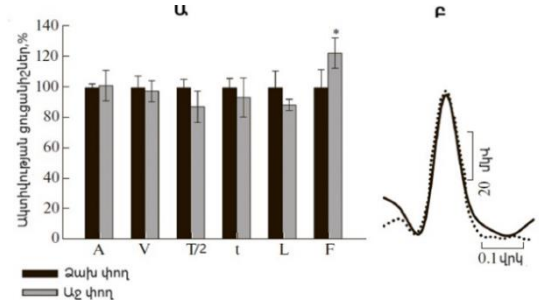


Նկ. 6. Ա) Աջ փողի օվարիայ շրջանի գործողության պուրենցիալների ցուցանիշների փոկոհարաբերությունը սային ăшhи odwnhwi փողի շրջանի նկատմամբ (100%), P) ձախ փողի (անրնդհատ գիծ) L ш9 փողի (կետագիծ) օվարիալ շրջանների եցակի ԳՊ-ների միջինացված ուրվագծերի վերադրումը, Հավաստիություն՝ **P<0,01:

Երկու արգանդափողերի էլեկտրաֆիզիոլոգիական հատկությունների համեմատական վերլուծությունը ցույց է տվել, որ օվարիալ շրջանների ԳՊ-ների ցուցանիշների արժեքների միջև առկա են զգալի տարբերություններ (նկ. 6Ա). ամպլիտուդը (68,9%, $P \le 0,01$), պիկի աճի միջին արագությունը (65,1%, $P \le 0,01$) և 1 րոպեում ակտիվության բռնկումների հաճախությունը (64,6%, $P \le 0,01$) աջ արգանդափողում ցածր են՝ համեմատած ձախի հետ։ Նկ. 6P = -1,01 ձախ և աջ

արգանդափողերի օվարիալ շրջանների ԳՊ-ների վերադրումը ևս արտահայտում է նրանց ցուցանիշների տարբերությունը։

Ի տարբերություն օվարիալ շրջանի, երկու արգանդափողերի ցերվիկալ շրջանների սպայկային ակտիվություններում էական տարբերություններ չեն հայտնաբերվել, միայն աջ փողում ակտիվության բռնկումների հաճախությունն է բարձր (նկ. 7Ա և 7Բ)։



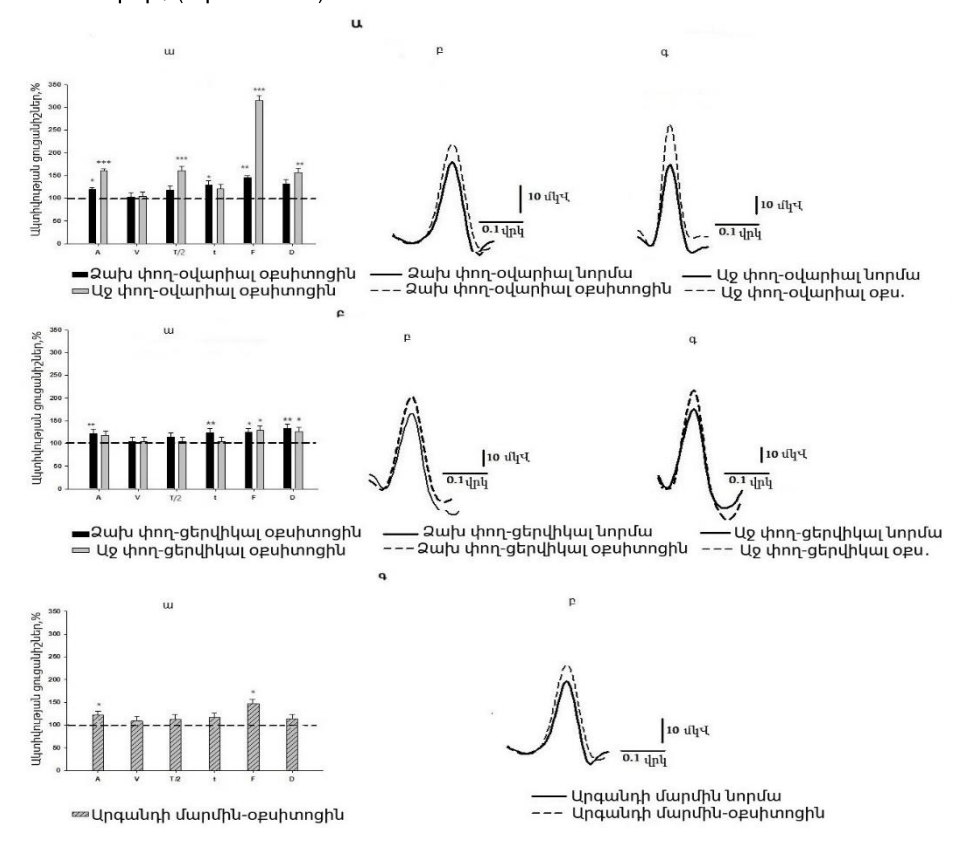
Նկ. 7. Ա) Աջ փողի ցերվիկալ շրջանի գործողության պուրենցուցանիշների փոկոցիալների սային հարաբերությունը ձախ փողի ցերվիկալ շրջանի նկափմամբ (100%), Բ) ձախ փողի (անընդհատ փողի (կեփագիծ) ш9 ցերվիկալ շրջանների եզակի ԳՊմիջինացված ուրվագծերի վերադրումը, n=18: Հավասւրիություն՝ *P<0,05:

Այսպիսով, ոչ իղի առնետի երկու արգանդափողերի ծայրային ռիթմածին շրջանների ինքնաբուխ էլեկտրական ակտիվության ցուցանիշների համեմատական վերլուծությունը ցույց է տալիս, որ ձախ փողի օվարիալ շրջանը բնութագրվում է ինչպես գործողության պոտենցիալների ցուցանիշների (ամպլիտուդի, պիկի աճի միջին արագություն), այնպես էլ ակտիվության բռնկումների բնութագրիչների ցուցանիշների (առանձին բռնկումների առաջացման տևողություն, հաճախություն) ամենաբարձր արժեքներով, որոնք որոշում են արգանդամկանի դրդվածության աստիճանը (Maul H. et al., 2003; Rabotti C. et al., 2007):

Առնետների միոմետրիումի ին<u>ք</u>նաբուխ էլեկտրական ակտիվության վրա օքսիտոցինի ազդեցության առանձնահատկությունները։ Օքսիտոզինը պեպտիդային հորմոն որի նկատմամբ արգանդամկանը յուրահատուկ զգալունություն ունի. վերջինս, զգալիորեն բարձրացնելով էլեկտրական ակտիվությունը՝ ծննդաբերության ժամանակ հանդիսանում է կծկողական գործունեության հիմնական կարգավորիչներից մեկը։ Ռիթմածին շրջանների ինքնաբուխ ակտիվության վրա օքսիտոցինի ազդեցության հետազոտությունը կօգնի բացահայտել արգանդամկանում ինտեգրատիվ ակտիվության գործընթագի առանձնահատկությունները։

Օքսիտոցինի (10-1 մկգ/կգ) ազդեցության տակ աջ և ձախ արգանդափողերի ռիթմածնության համեմատական վերլուծությունից պարզվեց, որ աջ արգանդափողի օվարիալ շրջանի ԳՊ-ի զուզանիշների հավաստի, շատ կտրուկ աճ է գրանզվել (նկ. 8Ա)։ Արդլունքներն արտահայտվել են նորմայի նկատմամբ (ընդունվել է 100%) տոկոսային հարաբերակցությամբ։ Նկատվում է A, T/2 և D ցուցանիշների արժեքների միաժամանակա աճ՝ համապատասխանաբար 59.8%, 60.8% և 56.3%: ԳՊ-ների հաճախությունը (F) նորմայի համեմատ աճել է ավելի քան 3 անգամ։ Ի ձախում տարբերություն шŷ օվարիալ շրջանի, ԳՊ-ի համապատասխան զուցանիշների արժեքների ավելի քիչ աճ է գրանցվել։ Օքսիտոցինի ազդեցությունը տարբեր է արգանդափողերի ցերվիկալ շրջանների և արգանդի գործունեության վրա։ Նորմայում դրանց ակտիվության ցուցանիշների

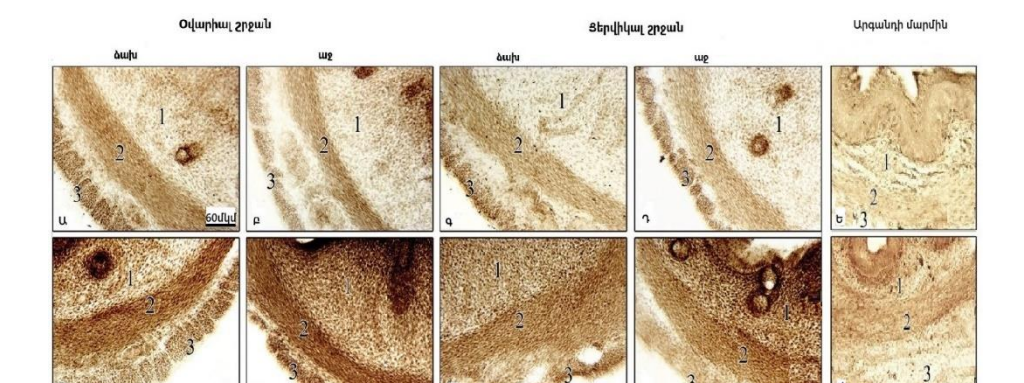
նմանություններ կան, և, համապատասխանաբար, այս հորմոնի ազդեցությունը ևս նմանատիպ է (նկ. 8Բ և 8Գ)։



Նկ. 8.ա) Օքսիտոցինի ազդեցությունը փողերի օվարիալ (Ա), ցերվիկալ (Բ) շրջանների և արգանդի մարմնի (Գ) ինքնաբուխ էլեկտրական ակտիվության վրա՝ նորմայի (կետագիծ, 100%) համեմատ, բ և գ) համապատասխան ռիթմածին շրջանների ԳՊ-ների միջինացված ուրվագծերի համեմատությունը նորմայում և օքսիտոցինի ազդեցության պայմաններում, n = 10: <ավաստիություն՝ *P<0,05, **P<0,01 և ***P<0,001:

Ինտակտ կենդանիների ձախ արգանդափողի օվարիալ շրջանի մկանածին կառուցվածքներն առավել ինտենսիվ են ներկվում, ինչը վկայում է նյութափոխանակային գործընթացների բարձր մակարդակի մասին (նկ. 9Ա)։ Միաժամանակ աջ օվարիալ շրջանի, երկու արգանդափողերի ցերվիկալ շրջանների ու արգանդի մարմնի մկանածին կառուցվածքները համեմատաբար հավասար և չափավոր են ներկվել (նկ. 9Բ-Ե)։

Օքսիտոցինի ազդեցության պարագայում նկատվում է արգանդի աջ և ձախ արգանդափողերի ու արգանդի մարմնի հարթ մկանային բջիջների ակտիվության աճ՝ նյութափոխանակության բարձրացում (նկ. 92-Ժ)՝ ինտակտ կենդանիների համեմատ (նկ. 9Ա-Ե)։ Թթու ֆոսֆատազի ամենաբարձր ֆերմենտային ակտիվությունը նկատվել է աջ օվարիալ շրջանում (նկ. 9Է)։

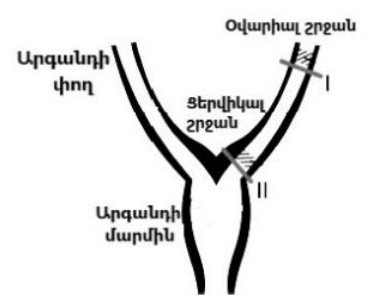


Նկ. 9. Առնետի արգանդափողերի ֆրոնտալ կտրվածքները նորմայում (Ա-Ե) և օքսիտոցինի ազդեցության պայմաններում (Ձ-Ժ), 1՝ լորձաթաղանթ, 2՝ մկանային շերտ, 3՝ շճաթաղանթ։ Ա,Բ,Ձ,Է)՝ օվարիալ շրջան, Գ,Դ,Ը,Թ)՝ ցերվիկալ շրջան, Ե,Ժ)՝ արգանդի մարմին, Ա,Գ,Ձ,Ը)՝ ձախ արգանդափող, Բ,Դ,Է,Թ)՝ աջ արգանդափող։ Խոշորացում՝ 160 (Ա-Ժ), թվային խոշորացում՝ 8ՄՊ։

Այսպիսով, առնետի արգանդափողերի բոլոր ռիթմածին շրջանների արգանդամկանում օքսիտոցինը բարձրացնում է ֆերմենտային ակտիվությունը, սակայն ակտիվության ամենաբարձր աճ է նկատվում աջ արգանդափողի օվարիալ շրջանում։ Մորֆոհիստոքիմիական հետազոտությունների արդյունքները ենթադրաբար կարող են էլեկտրաֆիզիոլոգիական տվյալների հաստատման հիմք ծառայել։

Բարձր էլեկտրաֆիզիոլոգիական ակտիվության շնորհիվ ձախ ֆալոպյան փողը նորմայում ավելի ուժեղ կծկումներ է առաջացնում՝ աջի համեմատ։ Այնուամենայնիվ, քանի որ օքսիտոցինը կարևոր դեր է կատարում ակտիվության խթանման գործընթացում, այս հորմոնի ներմուծումը բավականաչափ ուժեղացնում է աջ արգանդափողի օվարիալ շրջանի ռիթմածնությունը։ Այս փաստը կարող է վկայել այն մասին, որ գոյություն ունեն պահեստային հնարավորություններ՝ վերարտադրողական օրգանի հիմնական դերի անխափան իրագործման համար։

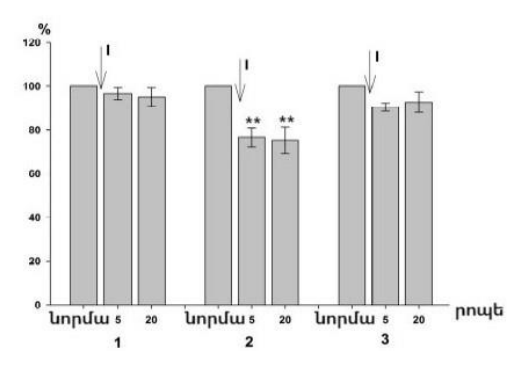
Առնետների արգանդափողերի ծայրային շրջանների պելսմեկերային **ակտիվությունների փոխազդեցությունը։** Համաձայն էլեկտրաֆիզիոլոգիական վերլուծության՝ առնետների արգանդափողերի պելսմեկերային տեղակալված են դրանգ ծալրամասերում։ Հաշվի առնելով, որ էլեկտրական ակտիվության առաջազման և կծկողական գործունեության միջև գոլություն ունի սերտ փոխկապակցվածություն (Garfield R.E., Maner W.L., 2007), ակնիայտ է, որ բոլոր ասինխրոն պելսմեկերային ակտիվությունների կոորդինացումն անհրաժեշտ նախապայման է ակտիվության տարածման ուղղության ձևավորման համար։ Նման կոորդինացված ակտիվությունն առավելապես դիտվում է հղիության ուշ շրջանում և հատկապես՝ ծննդաբերության ժամանակ։ Այս պարագայում չի կարելի բացառել որոշակի փոխկապակցվածության ինքնավար ռիթմածին շրջանների միջև առկայությունը նորմայում։ Ելնելով դրանից՝ օվարիալ ու ցերվիկալ շրջանների ինքնաբուխ ակտիվությունների փոխացդեցությունն ուսումնասիրելու նպատակով իրականացվել է այդ շրջանների մեկուսացում միմյանցից։



Նկ. 10. Արգանդի մարմնի ու փողերի սխեմատիկ պատկերում ներկայացված են գրանցման օվարիալ, ցերվիկալ շրջանները և I, II կտրվածքների շրջանները։ n=15

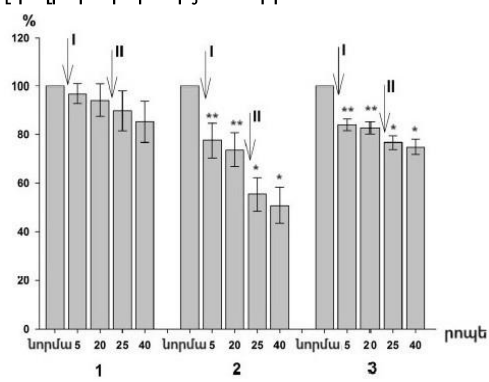
Կատարվել է արգանդափողի հատում (նկ. 10, I կտրվածք) օվարիալ շրջանից ներքև՝ պեյսմեկերների վնասման հնարավորությունը բացառելու համար։ Ինչպես երևում է նկ. 11-ից, արգանդափողից մեկուսացումից հետո օվարիալ

շրջանի ակտիվության ցուցանիշներից միայն ամպլիտուդն է նվազել՝ մոտ 23%-ով։ Հաճախությունն ու բռնկումների առաջացման տևողությունը գրեթե անփոփոխ են մնացել։ Այսպիսով, հաստատվում է արգանդափողի օվարիալ շրջանի ռիթմածնության ինքնավարությունը, և նրա ամբողջական մեկուսացումն այլ շրջաններից արտահայտվում է միայն սպայկերի ամպլիտուդի մի փոքր նվազումով։



Նկ. 11. Կտրվածքի ազդեզությունը փողի օվարիալ շրջանի ակտիվության ցուցանիշների վրա, 1՝ հաճախություն, 2՝ սպայկերի ամայիտուդ, 3՝ սպայկերի ւրևողություն։ Աբսցիսների բոնկման առանցքի երկայնքով նշված է նորման և գրանցման ժամանակամիջոցները, օրդինատների առանգրի երկայնքով՝ զուգանիշների արժեքները (%): Սյաքները են տայիս gnıjg համապատասխան կտրվածքները, n=15: Հավաստիություն՝ **P<0.01:

Հետազոտությունների հաջորդ սերիայում (նկ.12), ցերվիկալ շրջանի մեկուսացումը կատարվել է աստիճանաբար, սկզբում՝ արգանդափողի հատում օվարիալ շրջանից ներքև (նկ. 10, կտրվածք I), այնուհետև՝ արգանդափողի հատում արգանդի մարմնից (նկ. 10, կտրվածք II)։ Կտրվածքները հանգեցնում են ամպլիտուդի (44.6 %-ով) և բռնկումների առաջացման տևողության (23.3 %-ով) զգալի փոփոխությունների։

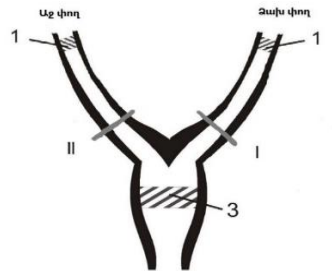


Նկ.12. Կւրրվածքների ազդեցուփողի ցերվիկայ թյունը շրջանի ակտիվության գուցանիշների վրա, 1՝ *հաճախություն*, 2' սպայկերի ամպլիտուդ, սպայկերի բռնկման ւրևողություն։ Աբսգիսների առանգրի երկայնքով նշված ţ វេណប្រព្យជ գրանցման ժամանակամիջոցները; օրդինափների առանգքի եոկայնքով՝ ցուցանիշների արժեքները (%): Սյաքները gnıjg են տալիս համապատասխան կտրվածքները, n=15: Հավաստիություն՝ *P<0.05 և **P<0.01։

Վերը նշված տվյալները փաստում են ոչ իղի առնետի արգանդափողերի ծայրային ռիթմածին շրջանների փոխկապակցվածության մասին։ Ցերվիկալ շրջանի ակտիվության ցուցանիշների զգալի փոփոխությունները մեկուսացման պայմաններում վկայում են այն մասին, որ ամենայն հավանականությամբ հենց օվարիալ շրջանն է ազդում ստորև գտնվող հեռադիր շրջանների ռիթմածնության վրա։ Այս ամենը փաստում է, որ գոյություն ունի որոշակի ուղղորդված փոխազդեցություն ոչ իղի առնետի արգանդափողի ծայրային ռիթմածին շրջանների միջև։

Առնետների արգանդափողերի էլեկտրական ակտիվության կապը միմյանց և արգանդի մարմնի հետ

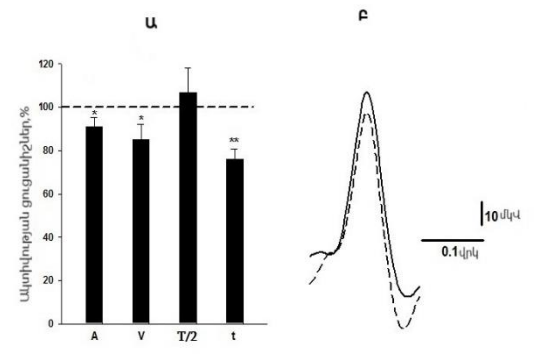
Արգանդի մարմնի ակտիվության ցուցանիշների ուսումնասիրում՝ ձախ, այնուհետև աջ փողի մեկուսացման պայմաններում։ Առնետի միոմետրիումի ռիթմածին շրջանների բարդ փոխհարաբերությունների արդյունքում (Buhimschi C.S. et al., 2000) յուրաքանչյուր փողի էլեկտրական ակտիվությունը կարող է ազդել ինչպես մյուս փողի, այնպես էլ արգանդի մարմնի վրա։ Այս խնդիրի լիարժեք հետազոտման նպատակով միոմետրիումի ռիթմածին շրջանների մեկուսացում է



իրականացվել՝ սկզբում կատարելով ձախ փողի (Լ կտրվածք), այնուհետև աջի (ԼԼ կտրվածք) հատում (նկ. 13) և հաջորդիվ՝ ռիթմածին շրջանների ակտիվության ուսումնասիրում։

Նկ. 13. Սխեմատիկ պատկերում ներկայացված են գրանցման համապատասխան շրջանները՝ 1՝ արգանդափողերի օվարիալ շրջաններ, 3՝ արգանդի մարմին և I, II կտրվածքների շրջաններ։

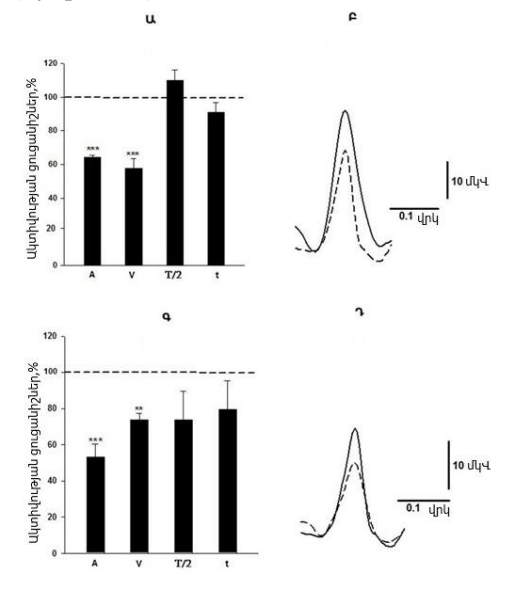
Ձախ փողի հատումը հանգեցրել է ԳՊ-ի ամպլիտուդի ու պիկի աճի արագության փոքր-ինչ նվազման (համապատասխանաբար՝ 91 % և 85 %), իսկ լայնության կեսը՝ t, նվազել է մինչև 75 % (նկ. 14)։



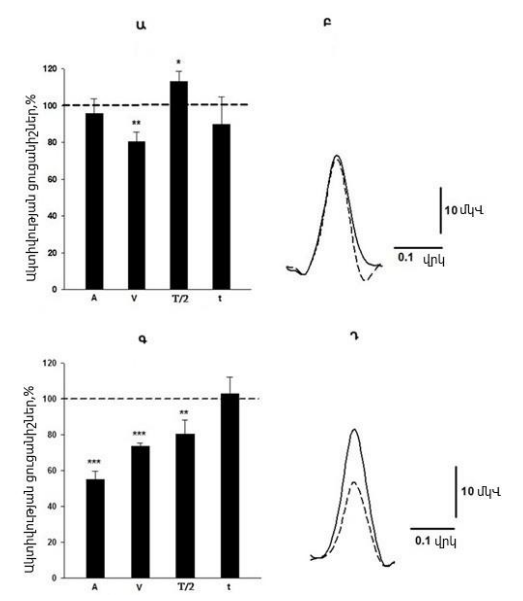
Նև. Qшh արգանդափողի էլեկտրական ակտիվության ցուցանիշները մեկուսացման պալմաններում։ U) I կտրվածքից հետո, ձախ hnnh ԳՊ-ների ցուցանիշների փոկոսային հարաբերությունը նորմայի (ընդհատ գիծ, 100%) նկատմամբ, Բ) ձախ փողի ԳՊմիջինացված ուրվագծերի ների համադրումը նորմալում (անընդհատ գիծ) և կտրվածքից հետո (ընդհատ գիծ), n=19: Հավաստիություն՝*P<0,05 u **P<0.01:

Աջ արգանդափողի օվարիալ շրջանի ակտիվության վերլուծությունը ձախ փողի հատման պայմաններում (նկ. 15) բերել է ակտիվության հիմնական ցուցանիշների նվազման (A՝ մինչև 64% և V՝ մինչև 57%)։ Այսպիսով, ձախ փողի հատման պարագայում՝ նրա ցուցանիշների աննշան փոփոխության պայմաններում,

նկատվում է աջ փողի ռիթմոգենեզի զգալի ճնշում։ Ավելին, աջ փողի հաջորդիվ մեկուսացումը (II կտրվածք) բերում է ԳՊ-ի ամպլիտուդի գրեթե կրկնակի նվազմանը (մինչև 53 %)։



Նև. 15. Հաջորդական կտրվածքների ագդեցությունը արգանդափողի ш9 ակտիվության վրա: U) Ձախ hnnh հաւրման պալմաններում, ш9 hnnh տոկոսային գուգանիշների հարաբերությունը նորմայի (ընդհատ գիծ, 100%) P) Աջ փողի նկատմամբ։ ԳՊ-ների միջինագված ուրվագծերի համադրումը նորմայում (անընդհատ գիծ) և ձախ փողի կտրվածքից հետո (ընդհատ գիծ)։ Գ) Աջ փողի հաւրման պալմաններում, աջ փողի ԳՊ-ների ցուցանիշների տոկոսային հարաբերությունը նորմայի նկատմամբ (ձախ փողը կտրված է, 100%՝ ընդհատ գիծ)։ Դ) Աջ փողի ԳՊ-ների միջինացված ուրվագծերի համադրումը ձախ փողի (անրնդհատ գիծ) և աջ փողի (ընդհատ գիծ) կտրվածքի պարագալում, Հավաստիություն՝ **P<0,01 և ***P<0,001։

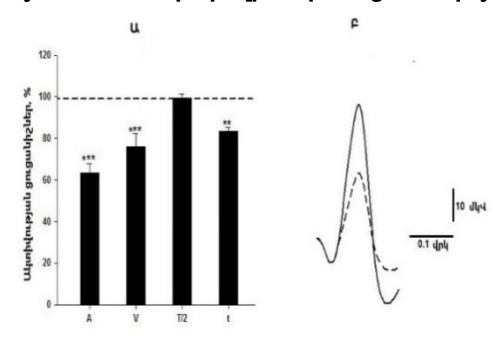


Ակ. 16. Հաջորդական կտրվածքների ագդեգությունը արգանդի մարմնի ակտիվության վրա: U) Qшh hnnh հատման պալմաններում, արգանդի մարմնի ցուցանիշների տոկոսային հարաբերությունը նորմայի (ընդհատ գիծ, 100%) նկատմամբ։ Բ) Արգանդի մարմնի միջինացված ուրվագծերի համադրումը նորմալում (անընդհատ գիծ) և ձախ փողի կտրվածքից հետո (ընդհատ փողի ąþδ): Цg հափման պայմաններում, արգանդի մարմնի ԳՊների ցուցանիշների տոկոսային հարաբերությունը նորմայի նկափմամբ (ձախ փողը կտրված է, 100% ՝ ընդհատ գիծ)։ Դ) Արգանդի մարմնի ԳՊ-ների միջինացված ուրվագծերի համադրումը ձախ (անընդհատ գիծ) և աջ փողի (ընդհատ կտրվածքի պարագալում, Հավաստիություն՝ *P<0,05, **P<0,01 L ***P<0.001:

Արգանդի մարմնի ԳՊ-ների ամպլիտուդը էապես չի փոխվում ձախ փողի մեկուսացման պայմաններում (նկ. 16Ա)։ Սակայն աջ փողի հետագա մեկուսացումը նպաստում է ամպլիտուդի և պիկի աճի միջին արագության արժեքների անկմանը (նկ. 15Գ և 16Գ)։

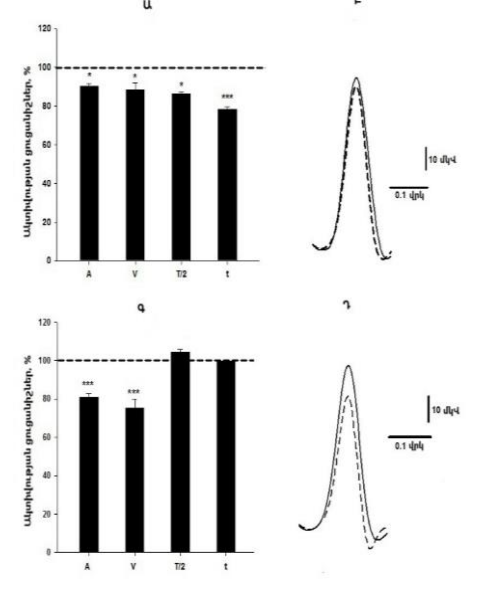
Չնայած նկարագրված վերը արդյունքները փաստում են шς փողի ռիթմածնության՝ ձախիզ կախվածության մասին, այնուամենայնիվ, մեկուսացումը չի բացառում աջ փողի ու արգանդի մարմնի միջև սինխրոն համապատասխանաբար, փոխացդեցությունը lı, onգանի ֆունկզիայի իրականագումը։

Արգանդի մարմնի ակտիվության ցուցանիշների ուսումնասիրում՝ աջ, այնուհետև ձախ փողի մեկուսացման պայմաններում։



Նկ․ 17․ Աջ արգանդափողի էլեկտրական ակփիվության ցուցանիշները մեկուսագման պայմաններում։ կտրվածքից հետո, աջ փողի ԳՊ-ների ւրոկոսային զուցանիշների հառաբերությունը նորմայի (ընդհատ գիծ, 100%) նկայոմամբ, P) wo thruh ԳՊ-ների միջինացված ուրվագծերի համադրումը նորմալում (անոնդիատ ahð) կտրվածքից հետո (ընդհատ գիծ), n=19: Հավաստիություն՝ **P<0,01 և ***P<0,001։

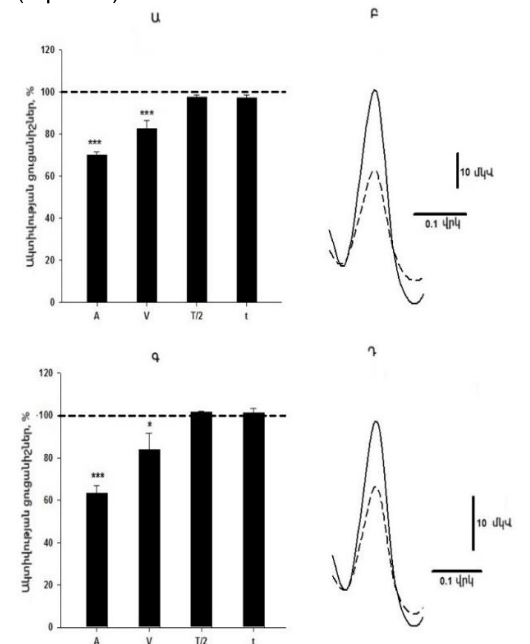
Խնդրի լիարժեք հետազոտման նպատակով միոմետրիումի ռիթմածին շրջանների փուլային մեկուսացման պայմանները փոխվել են՝ սկզբում կատարելով աջ փողի (I կտրվածք), այնուհետև ձախի (II կտրվածք) հատում և հաջորդիվ՝ ռիթմածին շրջանների ակտիվության ուսումնասիրում։



Նկ. 18. Հաջորդական կտրվածքների ագրեգությունը ăшhı արգանդափորի ակտիվության վրա։ Ա) Աջ փողի հատման պայմաններում, ձախ փողի գուգանիշների ւրոկոսային հարաբերությունը (ընդիատ գիծ, 100%) նկատմամբ։ Բ) Ձախ փողի ԳՊ-ների միջինացված ուրվագծերի համադրումը նորմալում (անընդհատ գիծ) և աջ փողի կտրվածքից հետո (ընդհատ գիծ)։ Գ) Ձախ փողի հատման պայմաններում, ăшhı փողի ԳՊ-ների ցուցանիշների ւրոկոսային հարաբերությունը նոոմայի նկապմամբ (աջ փողը կպրված է, րնդհատ գիծ)։ Դ) Ձախ փողի ԳՊ-ների միջինացված ուրվագծերի համադրումը աջ փողի (անընդհատ գիծ) և ձախ փողի (ընդհատ գիծ) կտրվածքի պարագալում, n=19: Հավաստիություն՝ *P<0.05 ***P<0.001:

I կտրվածքից հետո ԳՊ-ների բնութագրիչների համեմատական վերլուծությունը նորմայի համեմատ ցույց է տվել աջ արգանդափողում դրանց ամպլիտուդի նշանակալի՝ 36,7%-ով նվազում (նկ. 17)։ Ձախ փողում այս ցուցանիշը նվազել էր ընդամենը 9%-ով՝ վերջինիս մեկուսացումից հետո։

Աջ փողի մեկուսացման պայմաններում ձախում նկատվել է ակտիվության ցուցանիշների փոքր-ինչ նվազում՝ ԳՊ-ի ամպլիտուդի և աճի արագության արժեքները նվազել են մոտ 10%-ով (նկ. 18Ա)։ Հաստատվում է այն միտքը, որ ձախ արգանդափողն առաջացնում է հաստատուն ինքնավար ակտիվություն, որի վրա աջ փողի հատումն էական ազդեցություն չի թողնում։ Միաժամանակ, ձախ փողի մեկուսացումը բերում է ԳՊ-ի ցուցանիշների նշանակալի փոփոխությունների. ամպլիտուդը նվազում է համարյա 20%-ով, իսկ պիկի աճի արագությունը՝ 24,5 %-ով (նկ. 18Գ)։



Նկ.19.Հաջորդական կտրվածքների ազդեցությունը արգանդի մարմնի ակփիվության ипш: U) Աջ փողի հատման պալմաններում, արգանդի մարմնի ցուցանիշների տոկոսային հարաբերությունը նորմայի (րնդհատ գիծ, 100%) նկատմամբ։ Բ) Արգանդի մարմնի ԳՊ-ների միջինացված համադրումը ուրվագծերի նորմայում (անրնդհատ qþð) u ш9 փողի կտրվածքից հետո (ընդհատ գիծ)։ Գ) Ձախ փողի հայդման պայմաններում, մարմնի ԳՊ-ների արգանդի ցուցանիշների ւրոկոսային հարաբերությունը նորմայի նկափմամբ (աջ փողը կտրված է, 100%՝ ընդհատ գիծ)։ 7) Արգանդի մարմնի ԳՊ-ների միջինացված ուրվագծերի համադրումը աջ փողի (անընդհատ գիծ) և ձախ փողի (ոնոհատ գիծ) կտրվածքի պարագայում, n=19: Հավաստիություն՝ **P<0,05 և ***P<0.001:

Աջ փողի հատման պայմաններում նկատվել է արգանդի մարմնի ԳՊ-ների ամպլիտուդի 29,8%,-ով և պիկի աճի արագության 17,6%-ով նվազում (նկ․ 19Ա)։ Ձախ արգանդափողի հաջորդիվ մեկուսացումն արդեն բերել է արգանդի մարմնի հիմնական ցուցանիշների զգալի փոփոխության․ ամպլիտուդը նվազել է 36,7%-ով, իսկ աճի արագությունը՝ 16%-ով (նկ․ 19Գ)։ Հաշվի առնելով այս ամենը, միանշանակ կարելի է եզրակացնել, որ արգանդի մարմնի ԳՊ-ների ամպլիտուդի վրա ազդել են արգանդափողերի համապատասխան կտրվածքները։

Այսպիսով, ձախ արգանդափողի մեկուսացումը հարևան օրգաններից իիմնականում ςh ազդում նրա ակտիվության Վեոջինս վրա։ հարաբերականորեն ավելի մեծ ֆունկցիոնալ կապ արգանդի մարմնի հետ և կարողանում է կոմպենսացնել աջ փողի ազդեցության բացակալությունը արգանդի մարմնի վրա։

ԵԶՐԱԿԱՑՈՒԹՅՈՒՆՆԵՐ

- 1. Բացահայտվել է, որ ոչ հղի առնետների արգանդափողերի օվարիալ շրջաններում ակտիվության ցուցանիշները բարձր ու էականորեն տարբերվող են, մինչդեռ ցերվիկալ շրջաններում և արգանդի մարմնում դրանք մոտ են իրար և զգալիորեն ցածր։ Մորֆոհիստոքիմիական տվյալների վերլուծությամբ օվարիալ շրջանում ֆունկցիոնալ ակտիվ բջիջների մեծաքանակ կուտակումներ են հայտնաբերվել։
- 2. Ցույց է տրվել, որ ոչ հղի առնետների արգանդափողերի օվարիալ և ցերվիկալ շրջանների էլեկտրական ակտիվությունների փոխազդեցությունն անդրադառնում է դրանց ռիթմածնության վրա։ Մեկուսացման պայմաններում շրջանների ինքնավար ռիթմածնությունը պահպանվում է՝ ակտիվության ցուցանիշների որոշակի փոփոխություններով։ Հայտնաբերվել է օվարիալ շրջանի մոդուլացնող ազդեցությունը ցերվիկալ շրջանի ավտոմատիզմի վրա։
- 3. Բացահայտվել է, որ օքսիտոցինը զգալիորեն բարձրացնում է պեյսմեկերային շրջանների ռիթմածնության ցուցանիշները, սակայն դրանց կտրուկ աճը դիտվել է աջ արգանդափողի օվարիալ շրջանում, ինչը վկայում է վերջինիս պահուստային հնարավորությունների մասին։ Մորֆոհիստոքիմիական տվյալներով՝ օքսիտոցինը բարձրացնում է թթու ֆոսֆատազի ֆերմենտային ակտիվությունը, առավելագույնս՝ աջ արգանդափողի օվարիալ շրջանում։
- 4. Արգանդափողերի օվարիալ շրջանների էլեկտրական ակտիվությունների փոխկապակցվածության ուսումնասիրությունները ցույց են տվել, որ աջ արգանդափողի ավտոմատիզմը սերտորեն կախված է ձախի ակտիվությունից, որը բնութագրվում է ավտոմատիզմի առավել բարձր ցուցանիշներով։ Ձախ փողի մեկուսացումը զգալիորեն նվազեցնում է աջի ռիթմածնության զուգանիշները։
- 5. Արգանդափողերի հաջորդական մեկուսացմամբ պարզվել է դրանց ազդեցությունը արգանդի մարմնի ակտիվության վրա։ Ձախ փողի հատումը հանգեցնում է ԳՊ-ի կարևորագույն ցուցանիշների նվազման, իսկ աջի հաջորդիվ հատումը՝ արգանդի մարմնում այս ցուցանիշների ավելի արտահայտված անկմանը։ Արդյունքները վկայում են աջ փողի ու արգանդի մարմնի միջև փոխազդեցության մասին, որի շնորհիվ ձախի փողի մեկուսացման պայմաններում արգանդի մարմնի էլեկտրական ակտիվությունը զգալիորեն չի տուժում։

ԱՏԵՆԱԽՈՍՈՒԹՅԱՆ ԹԵՄԱՅՈՎ ՀՐԱՊԱՐԱԿՈՒՄՆԵՐԻ ՑԱՆԿ

<u>Հոդվածներ</u>

- 1. Казарян К. В., Унанян Н. Г., Мкртчян А. В. Взаимодействие пейсмекерных активностей крайних отделов маточных труб у небеременных крыс// ՀայшսսոանիԳիսությունների Ազգային Ակադեմիա,Ձեկույցներ, 2014, Հ. 114, էջ 69–75. http://elib.sci.am/2014 1/10 1 2014.pdf
- 2. Казарян К.В., Унанян Н.Г., Саваян А.А., Пилипосян Т.А., Мкртчян А.В., Манукян А.М. Идентификация характеристик спонтанной электрической активности ритмогенных областей миометрия крысы // Журнал эволюционной биохимии и физиологии, 2015, Т. 51, № 5, с. 340–346, DOI:10.1134/S002209301505004X
- 3. Казарян К.В., Унанян Н.Г., Мкртчян А.В. Сравнительный анализ электрофизиологических свойств маточных труб крысы // East European Science Journal, 2019, № 5, с. 11–19.

- https://eesa-journal.com/wp-content/uploads/EESA may4-1.pdf
- Казарян К.В., Унанян Н.Г., Мкртчян А.В. Спонтанная электрическая активность фаллопиевых труб крысы // Журнал эволюционной биохимии и физиологии, 2020, Т. 56, № 3, с. 245–250. DOI:10.31857/S0044452920030055
- Казарян К.В., Унанян Н.Г., Пилипосян Т.А., Чибухчян Р.Г., Мкртчян А.В. Регуляция электрического ритмогенеза правой фаллопиевой трубы // The Scientific Heritage, 2022, № 89, с. 27–30 DOI:10.5281/zenodo.6575748.
- 6. Казарян К.В., Унанян Н.Г., Пилипосян Т.А., Чибухчян Р.Г., Мкртчян А.В. Взаимосвязь электрической активности фаллопиевых труб с телом матки у крыс // Medicus, 2022, № 4, с. 6–15. http://scimedicus.ru/f/medicus no 4 46 july.pdf
- Kazaryan K.V., Hunanyan N.G., Piliposyan T.A., Chibukchyan R.G., Mkrtchyan A.V. The role of the fallopian tube in performance of the main myometrial functions // Acta Scientific Medical Sciences, 2023, c. 191–196. https://www.actascientific.com/ASMS/ASMS-07-1561.php
- 8. Չիբուխչյան Ռ.Գ., Ղազարյան Ք.Վ., Հունանյան Ն.Գ., Մկրտչյան Ա.Վ., Փիլիպոսյան Տ.Ա., Մկրտչյան Հ.Խ., Տրոֆիմովա Յ.Յ., Մանվելյան Լ.Ռ. Առնետի միոմետրիումի ոիթմավար շրջանների ինքնաբուխ էլեկտրական ակտիվության բնութագրերի իդենտիֆիկացումը // Հայաստանի Գիտությունների Ազգային Ակադեմիա, Ձեկույցներ,2024,Հ. 124, էջ 39–40. https://arar.sci.am/dlibra/publication/403779/edition/373617/content
- էլեկտրական 9. Մկրտչյան પ્ર.પ્. Ωs hηh առնետների ինքնաբուխ ակտիվության առանձնահատևությունները // Հայաստանի Գիտությունների Ազգային Ակադեմիա, Ձեկույգներ,2024,<.124,էջ33–38. https://arar.sci.am/dlibra/publication/403778/edition/373616/content
- Kazaryan K., Hunanyan N., Danielyan M., Chibukchyan R., Trofimova Y., Mkrtchyan A., Karapetyan K., Syan K., Piliposyan T. Regulation of spontaneous electrical activity in the organs of reproductive system by oxytocin // Georgian Medical News, 2024, № 352–353, c. 255–259. https://www.geomednews.com/Articles/2024/7 8 2024/255-259.pdf
- 11. Kazaryan K., Hunanyan N., Danielyan M., Mkrtchyan A., Chibukchyan R., Trofimova Y., Piliposyan T. The role of oxytocin in the regulation of electrical activity of fallopian tubes in rats // Indian Journal of Physiology and Pharmacology, 2024, v.68, № 4, pp. 335–339. DOI:10.252559/IJPP-30-2024.
- 12. Kazaryan K., Hunanyan N., Danielyan M., Chibukchyan R., Trofimova Y., Mkrtchyan A., Karapetyan K., Syan K., Piliposyan T.Correlation between rhythmogenesis of the rat ureters under histamine exposure // Georgian Medical News, 2024, № 12 (357), c. 88–94. https://www.geomednews.com/Articles/2024/12_2024/88-94.pdf?utm_source=chatgpt.com
- 13. Մկրտչյան Ա. Վ. Առնետի արգանդափողերի ձվարանային շրջանների էլեկտրական ակտիվության համեմատական վերլուծությունը // Հայաստանի Գիտությունների Ազգային Ակադեմիա, Զեկույցներ, 2025, Հ. 125, էջ 80–86. https://arar.sci.am/dlibra/publication/417358/edition/385555/content

<u> Թեգիսներ</u>

- IV Съезд физиологов СНГ «Физиология и здоровье человека», «Регуляция и взаимодействие спонтанной активности ритмогенных областей миометрия у крыс» Научные Труды, Сочи-Дагомыс, 8 -12 октября, 2014, с. 162.
- 2. International Stress and Behavior Society, «Interaction between the fallopian tubes and their influence on electrical activity of the uterine corpus» Armenia, 18-19 May, 2023, pp. 22–23.
- 3. International Stress and Behavior Society, «Regulation of characteristics of electrical rhythmogenesis in the reproductive system» Armenia, 16-19 May, 2024, p. 94
- Solving Natures Mysteries Using Advanced Bioimaging Approaches, «Blood supply as a factor regulating pacemaker activity of the myometrium» Armenia, 4-6 November, 2024, p.58.
- 5. International Stress and Behavior Society, «Comparative analysis of the electrophysiological properties of the distal zone of the ureter in rats» Armenia, 16-19 May, 2025, pp. 50-51.

ARUSYAK VACHIK MKRTCHYAN COORDINATION OF SPONTANEOUS ELECTRICAL ACTIVITY IN DIFFERENT AREAS OF MYOMETRIUM IN RATS SUMMARY

The spontaneous electrical activity of the uterus and fallopian tubes underlies their contractile function and plays a fundamental role in reproductive processes. The aim of this study is to reveal the patterns of interaction between the pacemaker activities of rhythmogenic regions in the myometrium of non-pregnant rats, which ensure the coordinated function of the reproductive organ essential for generating directionally propagated contractile activity.

Electrophysiological characteristics of the ovarian and cervical horn areas, as well as the uterine corpus, in non-pregnant rats have been analyzed. The highest values of the main activity parameters were recorded in the left ovarian horn area. The cervical horn areas and the uterine corpus exhibit similar values of spike activity parameters. Analysis of morphohistochemical data revealed clusters of round or oval cells with high activity of Ca²⁺-dependent acid phosphatase in longitudinal sections of the ovarian horn area in norm. Unlike this region, the cervical horn area exhibits a slight focal localization of such cells, whereas in the uterine corpus they are more uniformly distributed.

A comparative analysis of the electrophysiological properties of the fallopian tubes was conducted. Main parameters of action potentials in the left ovarian horn area were significantly higher compared to those in the cervical area of same tube and in the right ovarian horn area. No significant differences were found between spike activities of the cervical areas. Thus, the left ovarian horn area, exhibiting the highest levels of electrical activity, plays a decisive role in formation of the myometrial excitability.

The effects of oxytocin $(10^{-1} \, \mu g/kg)$ on spontaneous electrical activity of the rat myometrium were investigated. This hormone increases the electrical activity parameters of the pacemaker areas; however, a particularly sharp increase was observed in the right ovarian horn area. Morphohistochemical studies also confirm that oxytocin enhances enzymatic activity in the myometrium across all pacemaker regions, with the most pronounced increase observed in the right ovarian horn area.

Studies on the interaction of pacemaker activities of the terminal horn areas were conducted by isolating these regions from each other. After isolation from the fallopian tube, only the amplitude of activity parameters in the ovarian region slightly decreased, thereby confirming the autonomous nature of the pacemaker activity in the ovarian area of horn. In contrast, isolation of the cervical region led to a significant suppression of activity parameters- amplitude decreased by 44.6%, and burst duration by 23.3%, suggesting that the ovarian region most likely influences the pacemaker activity of the more distal, downstream regions.

The relationship between electrical activities of the rat fallopian tubes and the uterine corpus was studied through sequential transections of the right and left tubes. Isolation of the left fallopian tube from adjacent organs had little to no effect on its activity. In contrast, the automatism of the right fallopian tube was found to be strongly dependent on the activity of the left tube, as isolation of the latter significantly reduced the pacemaker parameters of the right tube. The results also indicate that, when one tube is isolated, the interaction between the remaining tube and the uterine corpus contributes to the generation of electrical activity and realization of the primary reproductive function.

АРУСЯК ВАЧИКОВНА МКРТЧЯН ОСОБЕННОСТИ КООРДИНАЦИИ СПОНТАННОЙ ЭЛЕКТРИЧЕСКОЙ АКТИВНОСТИ РАЗЛИЧНЫХ ОБЛАСТЕЙ МИОМЕТРИЯ У КРЫС РЕЗЮМЕ

Спонтанная электрическая активность матки и маточных труб обеспечивает их сократительную функцию и лежит в основе репродуктивной функции. Целью настоящей работы является выявление закономерностей взаимодействия пейсмекерной активности ритмогенных зон маточных труб и тела матки у небеременных крыс, обеспечивающих скоординированную работу репродуктивного органа, необходимую для генерации направленной сократительной активности.

У небеременных крыс проанализированы особенности электрической активности овариальной и цервикальной областей маточных труб, а также тела матки. Максимальные значения основных характеристик активности зарегистрированы в овариальной области левой маточной трубы. Цервикальные области маточных труб и тело матки характеризуются схожими показателями спайковой активности. Анализ морфогистохимических данных показал, что в норме на продольных срезах овариальной области выявляются скопления круглых или овальных клеток с высокой активностью Ca²⁺-зависимой кислой фосфатазы. В отличие от овариальной области, в цервикальной области наблюдается небольшая очаговая локализация этих клеток, тогда как в теле матки они распределены равномерно.

Проведен сравнительный анализ электрофизиологических свойств маточных труб. В овариальной области левой маточной трубы ключевые показатели потенциалов действия значительно выше по сравнению с цервикальной областью той же трубы и овариальной областью правой маточной трубы. Значимых различий в спайковой активности цервикальных областей в основном не выявлено. Таким образом, овариальная область левой маточной трубы, обладая самыми высокими показателями электрической активности, играет решающую роль в формировании возбудимости миометрия.

Изучены особенности влияния окситоцина (10^{-1} мкг/кг) на спонтанную электрическую активность миометрия крысы. Этот гормон повышает показатели электрической активности ритмогенных зон; однако наиболее резкое увеличение зарегистрировано в овариальной области правой маточной трубы. Морфогистохимические исследования также подтверждают, что окситоцин повышает ферментативную активность в миометрии всех ритмогенных зон, при этом наибольшее увеличение активности отмечается в овариальной области правой маточной трубы.

Исследования взаимодействия пейсмекерной активности в терминальных областях маточных труб крысы проводились путем изоляции этих областей друг от друга. После изоляции от маточной трубы в овариальной области снижается только амплитуда, что подтверждает автономность ритмогенной активности этой области. В условиях изоляции цервикальной области показатели активности значительно подавляются: амплитуда снижается на 44,6 %, а продолжительность вспышек — на 23,3 %, что свидетельствует о том, что, скорее всего, именно овариальная область влияет на ритмогенную активность нижерасположенных удалённых зон.

Изучена связь электрической активности маточных труб крысы между собой и с телом матки путем последовательного пересечения правой и левой трубы. Изоляция левой маточной трубы от соседних органов в основном не влияет на её активность. Автоматизм правой маточной трубы тесно зависит от активности левой; её изоляция значительно снижает показатели ритмогенной активности правой трубы. Результаты также свидетельствуют о том, что при изоляции одной из труб взаимодействие между другой трубой и телом матки способствует возникновению электрической активности в последнем и реализации его основной репродуктивной функции.